

2019—2020 学年度第一学期南开区期末考试试卷

高三年級 地理学科

本试卷分为第I卷(选择题)和第II卷(综合题)两部分,共100分。考试时
间60分钟。祝各位考生考试顺利!

第I卷

注意事项:

本卷共15题,每题3分,共45分。在每题列出的四个选项中,只有一项是最
符合题目要求的。

崩塌是指较陡斜坡上的岩土体在重力作用下突然脱离母体崩落、滚动、堆积在
坡脚的地质现象。图1为某地区等高线地形图(单位:米),该地在某次降雨后形
成多处崩塌地(图中阴影部分)。图2为地壳物质循环示意图。读图,回答1-2题。

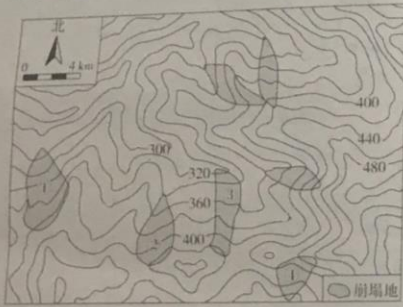


图1 某地区等高线地形图

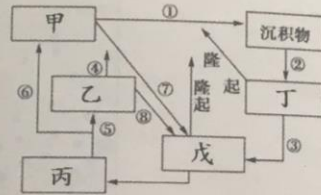


图2 地壳物质循环示意图

- 关于图1中①②③④四处崩塌地的描述,正确的是
A. ①地形成的高差最大
B. ②地所在地形是山脊
C. ③地崩塌物的体量最小
D. ④地的崩塌方向朝南
- 图2方框表示岩浆、侵入岩、喷出岩、沉积岩、变质岩,箭头表示地质作用,能够反映崩塌过程的地质作用及其相关地理事物的是
A. ① 沉积物
B. ② 丁
C. ③ 戊
D. ⑤ 乙

2019年我国春运大数据报告显示,前往武汉、重庆、西安等地的人群最常退票或改签,成为春运“变卦”城市。读图3,回答第3题。

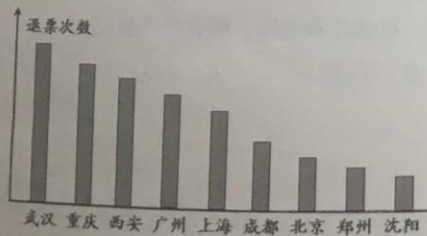


图3 我国2019年九大“变卦”城市退票次数统计图

- 武汉、重庆、西安、广州成为春运最易“变卦”城市的原因可能是
A. 重庆地形起伏大,交通线路少
B. 西安多暴雨天气,车次易误点
C. 武汉为交通枢纽,行经车次多
D. 广州返乡人口少,容易买车票

图4为某区域某时段海平面气压分布图(单位:百帕)。读图,回答4-5题。

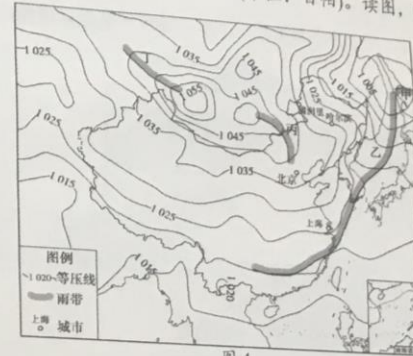


图4

- 图中所示雨带位置绘制正确的是
A. 甲
B. 乙
C. 丙
D. 丁
- 关于图示季节该时段四地的天气预报最为准确的是
A. 北京 -6~4℃ 多云转晴 东南风
B. 上海 9~12℃ 小雨转阴 东北风
C. 哈尔滨 -4~13℃ 晴 西南风
D. 满洲里 -31~-17℃ 小雨转晴 西北风

近年来我国的城乡对比关系已经开始出现新的现象。城镇化的条件开始出现改变,以前农村——城市单向的城镇化过程,可能会出现反向或双向的过程。读图5,回答6-7题。

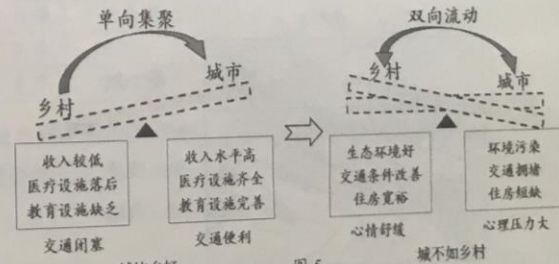


图5

- 促使近年来出现城乡人口流动变化的条件包括
①城乡收入差距减小
②乡村交通通达度高于城市
③乡村基础设施逐步完善
④乡村生活节奏比城市悠闲
A. ①②③
B. ②③④
C. ①③④
D. ①②④

7. 在农村——城市反向或双向流动过程中, 出现了
- A. 虚假城市化 B. 逆城市化
- C. 初期城市化 D. 滞后城市化

2017年亚洲寒区环境与工程国际研究中心在兰州成立, 为“一带一路”基础设施提供科学支撑。图6为我国某地冻土融化过程示意图。读图, 回答8-9题。

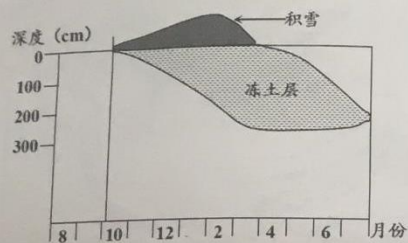


图6

8. 下列有关该地冻土融化过程的表述, 正确的是
- A. 气温高低和人类活动对冻土融化速度影响较大
- B. 1、2月份冻土层最厚, 7、8月份冻土层最薄
- C. 冻土的冻结厚度的增长是先快、后慢、再变快
- D. 冻土从开始融化到全部融化全过程约需180天
9. 该地区公路受冻土影响易出现凹凸不平的现象, 主要原因是
- A. 春季升温较快, 水分蒸发, 导致冻土厚度变薄
- B. 夏季冻土融化, 汇成径流, 流水侵蚀作用增强
- C. 秋季降水较少, 冻土变薄, 导致路面塌陷严重
- D. 冬季土壤结冰, 体积膨胀, 导致路面拱起严重

图7为世界某海域, 受洋流影响的等水温线分布图。读图, 回答10-11题。

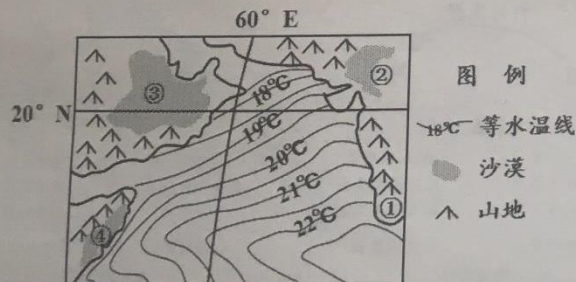


图7

10. 与图示海区洋流流向有关的风向及主要源地是
- A. 东南风 夏威夷高压 B. 东北风 亚洲高压
- C. 西北风 副热带高压 D. 西南风 印度低压

11. 关于图7中四地在该季节发生的地理现象, 叙述正确的是
- A. ①地处于全年的气温最高季节
- B. ②地正直秋风瑟瑟, 稻花飘香
- C. ③地地下水位为一年中较高位
- D. ④地沿岸海域的鱼类密度较大

经济发展、生活水平提高和气候变化带来越来越大的地区差异, 形成多样化的食物需求和多种生产模式。从种子需求的角度中国大致呈现出三大农业模式, 其典型区域如图8所示。读图8, 回答12-13题。



图8

12. 图8中
- A. 北方为产业农业模式, 南方为传统农业模式
- B. 产业农业模式分布于地广人稀的北部、西部
- C. 传统农业模式分布在云、贵、川、湘等省区
- D. 新兴农业模式集中于大城市周边和沿海地区
13. 图8间接反映出我国粮食增长中心北移的现状, 其形成原因主要包括
- ①南方地区人口增长快, 人均粮食生产减少
- ②南方地区工业化、城镇化发展快, 耕地减少
- ③华北地区迁入人口多, 农业劳动力增加
- ④东北地区耕地广大, 机械化程度高, 粮食单产提高
- A. ①② B. ①③ C. ②④ D. ③④

图9中直线为经线，圆圈为纬线，该纬线穿过两块大陆的北部，纬线圈中心点处太阳高度为 20° ，表格为当日A、B两地昼长时间。读图表回答14-15题。

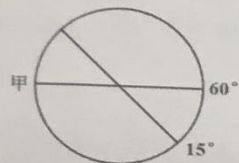


图9

	A	B
昼长时间	14 小时	14 小时 51 分

14. 若在A、B两地的游客同时看到了日出，则A地位于B地的
A. 东南 B. 东北 C. 西南 D. 西北
15. 若图中 15° 经线的地方时为21时，则下列叙述可信的是
A. 甲地太阳高度角达一年中最大
B. 新一天的范围占全球的 $\frac{3}{4}$
C. 甲地可见正午的阳光
D. 甲地此刻的太阳高度为 90°

第II卷

题号	16	17	18	II 卷
得分				

注意事项：

1. 用黑色墨水的钢笔或签字笔将答案写在答题卡上。
2. 本卷共3题，共55分。

得分	评卷人

16. (19分) 读图文材料，回答问题。

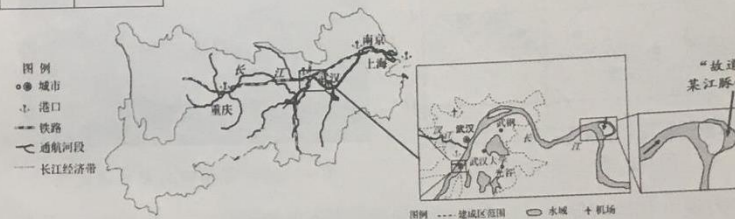


图10 长江经济带及武汉市周边地区示意图

长江中游部分“九曲回肠”的河段通过天然或人工裁弯取直的方式，形成了许多与主河道若即若离的“长江故道”。一些周边人口稀少的“长江故道”逐渐成为水生动物的乐园，如图10所示的某江豚保护区。

(1) 从“故道”与主河道“即”、“离”关系的角度，分析周边人口稀少的“长江故道”逐渐成为水生动物乐园的原因。(8分)

表1 武汉(30°N , 114°E)与亚历山大(31°N , 29°E)多年气候平均数据

城市	月份	平均气温	平均降水量	城市	月份	平均气温	平均降水量
武汉	7月	28.7°C	190.3mm	亚历山大	7月	26.5°C	0.7mm
	8月	28.2°C	111.7mm		8月	25.6°C	1.1mm

(2) 据表1分析与亚历山大相比，武汉7-8月气候特征有何差异，分别解释两地7-8月降水特征的成因。(5分)

2018年11月，武汉被中共中央国务院确立为中部地区中心城市。近年来，武汉光谷已形成电子信息、新能源与节能环保等产业集群，该城市从传统“钢城”向“芯城”转型升级。

(3) 结合图文材料，分析促使武汉从“钢城”向“芯城”转变的区位条件。(6分)

--	--

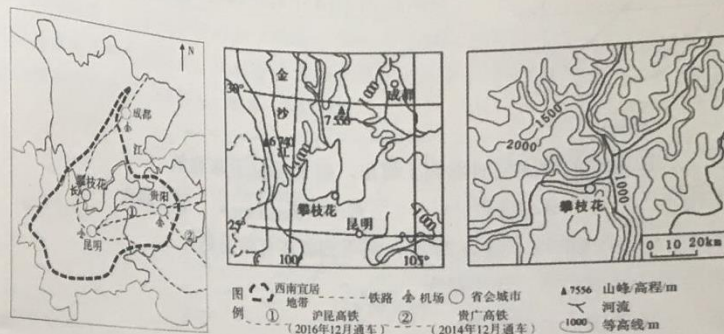
(1)有人说“罗讷河促成了日内瓦湖,但却又在不断消灭着它”,运用地质作用相关知识,解释这句话的含义。(6分)

(2) 结合上述图文材料, 分析德萨雷地区盛产优质葡萄的有利光热条件。(6分)

(3) 依据上述材料,说明瑞士巧克力的“发迹史”对我国食品加工产业发展的借鉴意义。(6分)

得分	评卷人

在我国横断山区、四川盆地和云贵高原的交汇地带，隐藏着一个长期被人们忽视的宜居带。在这片海拔1200-2300米的山区，很多地方四季如春，物产丰富，环境优良，人口稀疏。



(1) 据图文材料分析该地区海拔 1200-2300 米以外区域不宜居的气候条件。(6 分)

(2) 结合影响环境承载力的条件, 解释西南宜居地带人口稀疏的原因。(6分)

2010年，宜居带内的四川省攀枝花在全国率先提出“康养”（健康+养老/养生）概念，是国内最早谋划发展康养产业的城市。2019年，攀枝花成立康养产业发展局。

(3) 针对攀枝花近年来发展康养产业面临的问题, 对应提出具体发展措施。(6 分)

面临突出问题	具体发展措施
多年主打以“暖冬”为主题康养计划	①
当地居民从事相关产业的参与率偏低	②
游客主要来自周边省区,沿海地区较少	③